

# NECROPOLA DE TIP SÂNTANA DE MUREȘ-ČERNJCAHOV DE LA TIGHECI (CAMPANIA 2018). DATE PALEOANTROPOLOGICE

Angela SIMALCSIK\*, Vlad VORNIC\*\*

**Keywords:** Sântana de Mureș-Černjachov culture, IV<sup>th</sup> century A.D., Tigheci, necropolis, anthropological data

## Introducere

Primele cercetări perieghetice în necropola de tip Sântana de Mureș-Černjachov (secolul IV d.Hr.) de la Tigheci au avut loc în anul 1990, când a fost semnalat și degajat un mormânt de înhumăție parțial distrus. În anul 2015, specialiștii Agenției Naționale Arheologice din Republica Moldova au recuperat, din pământul răscolit de alunecări, mai multe oase umane, care au fost atribuite, în urma analizei antropologice, unui singur individ. În anul 2017, prin săpături de salvare, sunt descoperite și cercetate cinci morminte de înhumăție<sup>1</sup>. Datele antropologice ale acestei serii scheletice au fost publicate în detaliu în numărul anterior al acestui anuar.<sup>2</sup>

La fel ca în anii precedenți, și în anul 2018, cercetările în necropola de tip Sântana de Mureș-Černjachov de la Tigheci au fost axate pe salvarea unor morminte de înhumăție parțial distruse, observate deasupra malului abrupt al fostei lutării. S-au executat o mică secțiune și două casete, însumând o suprafață totală de circa 74 m<sup>2</sup>. Au fost decopertate cinci morminte de înhumăție (M.6 - M.10) și o porțiune dintr-un alt mormânt sau dintr-o groapă parțial distrusă, care nu prezenta oase umane și nici materiale arheologice. Din cele cinci complexe funerare sigure, trei morminte prezentau orientarea generală vest-est (M.7 – M.9), unul avea scheletul dispus cu craniul spre sud-vest (M.6), iar defunctul dintr-un alt mormânt a fost orientat inițial, se pare, cu capul spre sud-est (M.10). Adâncimea mormintelor oscila între 1,03 m și 2,25 m. Gropile mormintelor erau de formă rectangulară cu colțurile rotunjite, două morminte fiind prevăzute și cu praguri (M.6 și M.9). Din cele cinci morminte cercetate, două (M.9 și M.10) erau răvășite din vechime, iar trei (M.6, M.7 și M.10) au fost distruse parțial prin eroziunea solului. Poziția scheletelor a putut fi stabilită clar doar la două morminte (M.6 și M.8), defuncții fiind depuși în decubit dorsal, cu membrele superioare întinse de-a lungul corpului. În ceea ce privește inventarul funerar, menționăm un fragment dintr-un pahar de sticlă cu pereții groși, descoperit în M.9, restul mormintelor fiind complet lipsite de inventar. De pe suprafața sitului au fost recuperate mai multe fragmente ceramice, o fibulă fragmentară de argint, patru catarama, un clopoțel și o plăcuță rectangulară de la o casetă de bronz, o mărgică și un fragment de pahar

---

\* Centrul de Cercetări Antropologice „Olga Necrasov”, Academia Română – Filiala Iași; Institutul de Cercetări Bioarheologice și Etnoculturale, Chișinău, [angellisimal@gmail.com](mailto:angellisimal@gmail.com)

\*\* Agenția Națională Arheologică; Universitatea de Stat din Moldova, Chișinău, [vornic.vlad@yahoo.com](mailto:vornic.vlad@yahoo.com)

<sup>1</sup> V. Vornic et alii, *Cercetări de salvare în necropola de tip Sântana de Mureș-Cerneahov de la Tigheci. Campania 2017*, în „Arheologia preventivă în Republica Moldova”, IV, 2019, p. p. 183-196.

<sup>2</sup> A. Simalcsik, V. Vornic, *Necropola de tip Sântana de Mureș-Cerneahov de la Tigheci (campania 2017). Date paleoantropologice*, în „Acta Musei Tutovensis”, XV, 2019, p. 238-253

de sticlă, trei mărgelile de carneol trecute prin foc și un dorn de fier. La suprafața solului au fost semnalate câteva oase umane calcinate, care indică prezența mormintelor de incinerare în cuprinsul necropolei de la Tigheci<sup>3</sup>.

### Material și metode de studiu

În cele ce urmează, prezentăm principalele date paleoantropologice ale seriei scheletice formate din cinci indivizi, descoperite, în campania 2018, în necropola de tip Sântana de Mureș-Černjachov (secolul IV d.Hr.) de la Tigheci.

Etapele analizei paleoantropologice au fost următoarele: înregistrarea stării de conservare a osemintelor<sup>4</sup> și a gradului de reprezentare a fiecărui schelet<sup>5</sup>, observarea modificărilor tafonomice<sup>6</sup>, stabilirea lateralității oaselor<sup>7</sup>, reconstituirea elementelor scheletice craniene și postcraniene, estimarea vârstei biologice<sup>8</sup>, determinarea sexului<sup>9</sup>, prelevarea datelor biometrice, conformativ și morfoscopice<sup>10</sup> și calcularea staturii scheletice<sup>11</sup>. S-au înregistrat patologii dentare și osoase, traumatismele, anomaliile scheletice, trăsăturile nonmetrice dentare și osoase<sup>12</sup> și indicatorii ocupaționali și ai stilului de viață<sup>13</sup>.

### Date paleoantropologice

#### Mormântul 6/2018

Complex parțial distrus prin eroziunea solului, orientat pe direcția sud-vest – nord-est. Groapa de forma dreptunghiulară, cu colțurile rotunjite, prevăzută cu prag pe latura lungă nord-

---

<sup>3</sup> Datele arheologice privind cercetările în necropola din secolul IV d.Hr. de la Tigheci, din anul 2018, sunt detaliate într-un articol aparte, care este în curs de apariție (V. Vornic *et alii*, *Cercetări de salvare în necropola de tip Sântana de Mureș-Cerneahov de la Tigheci. Campania 2018*, în „Arheologia preventivă în Republica Moldova”, V, 2020 (în curs de apariție).

<sup>4</sup> B. Connel, *Preservation and archaeological data, in Human osteology method statement* (ed. N. Powers), Museum of London, London, 2008, p. 9.

<sup>5</sup> J. E. Buikstra, D. H. Ubelaker, *Standards for Data Collection from Human Skeletal Remains*, Arkansas Archaeological Survey Research Series, No. 44, Fayetteville, 1994, p. 5-8.

<sup>6</sup> J. E. Buikstra, D. H. Ubelaker, *op. cit.*, 1994, p. 95-106.

<sup>7</sup> T. D. White, p. A. Folkens, *The Human Bone Manual*, Academic Press, Amsterdam, Boston, 2005, p. 75-308.

<sup>8</sup> A. L. Périer, *Observation sur le phénomène de l'abrasion dentaire fonctionnelle chez un groupe ethnique inférieur*, in „Odontologie”, 28, 10, 1935, p. 687-697; *Idem*, *Usure, abrasion, érosion*, in „Pratique Odonto-Stomatologique”, 140, 1949, p. 1-7; J. E. Buikstra, D. H. Ubelaker, *op. cit.*, 1994, p. 21-46.

<sup>9</sup> D. H. Ubelaker, *Human Skeletal Remains: Excavation, Analysis and Interpretation*, Taraxacum, Washington D.C., 1979, p. 72-80, 93-114; J. E. Buikstra, D. H. Ubelaker, *op. cit.*, 1994, p. 16-20.

<sup>10</sup> R. Martin, *Lehrbuch der Anthropologie*, 2nd ed., Fisher, Jena, 1928; R. Martin, K. Saller 1957-1966, *Lehrbuch de Anthropologie*, Fischer, Stuttgart, 1957-1966; J. E. Buikstra, D. H. Ubelaker, *op. cit.*, 1994, p. 69-84.

<sup>11</sup> M. Trotter, M., Gleser, G., *A Reevaluation of Estimation of Stature Based on Measurements of Stature Taken during Life and of Long Bones after Death*, in „American Journal of Physical Anthropology”, 16, 1958, p. 79-123.

<sup>12</sup> A. C. Aufderheide, C. Rodriguez-Martin, *The Cambridge Encyclopedia of Human Paleopathology*, Cambridge University Press, Cambridge, 1998, p. 19-200, 305-316, 357-423; D. J. Ortner, *Identification of Pathological Conditions in Human Skeletal Remains*, Academic Press, Oxford, 2003, p. 119-639; R. W. Mann, D. R. Hunt, *Photographic Regional Atlas of Bone Disease: A Guide to Pathologic and Normal Variation in the Human Skeleton*, Charles C. Thomas Publisher, Illinois, Springfield, 2005, p. 19-230; T. Waldron *Palaeopathology*, Cambridge University Press, Cambridge, New York, 2009, p. 24-248; E. Barnes, *Atlas of Developmental Field Anomalies of the Human Skeleton: A Paleopathology Perspective*, Wiley-Blackwell, Hoboken, 2012; R. W. Mann, D. R. Hunt, S. Lozanoff, *Photographic Regional Atlas of Non-Metric Traits and Anatomical Variants in the Human Skeleton*, Charles C. Thomas, Illinois, Springfield, 2016.

<sup>13</sup> Gy. Pálfi, O. Dutour, *Activity-induced skeletal markers in historical anthropological material*, in „International Journal of Osteoarchaeology”, 11, 1, 1996, p. 41-55; N. E. Chapman, *Evidence for Spanish influence on activity induced musculoskeletal stress markers at Pecos Pueblo*, in „International Journal of Osteoarchaeology”, 8, 1997, p. 390-411; D. E. Hawkey, *Disability compassion and the skeletal record: using musculoskeletal stress markers (MSM) to reconstruct an osteobiography from early New Mexico*, in „International Journal of Osteoarchaeology”, 8, 1998, p. 326-340; J. E. Robb, *The interpretation of skeletal muscle sites: a statistical approach*, in „International Journal of Osteoarchaeology”, 8, 5, 1998, p. 363-377; R. W. Mann, D. R. Hunt, *op. cit.*, 2005, p. 203-211.

estică. Adâncimea mormântului era de 2,25 m de la suprafața actuală a solului. Scheletul se afla în decubit dorsal, cu membrele superioare dispuse de-a lungul corpului.

*Gradul de reprezentare și starea de conservare.* Scheletul este bine reprezentat. Segmentul cranian lipsește, însă cel postcranian este aproape complet, cu excepția oaselor centurii scapulare, vertebrelor cervicale și toracice și radisului drept, care lipsesc (Fig. 1/1). Starea de conservare este bună.

*Estimarea vârstei și determinarea sexului.* Osemintele provin de la un individ de sex feminin (Fig. 1/2) cu vârsta biologică de circa 25-30 ani (adult tânăr).

*Caracteristici biomorfometrice.* Osatura este gracilă. Statura scheletică este de circa 150 cm, valoare ce se încadrează în categoria feminină submijlocie, la limita inferioară.

*Anomalii osoase.* La nivelul primei vertebre sacrale, central, este prezentă lombarizarea incipientă, adică deplasarea în sens caudal a frontierei lombo-sacrale, astfel încât prima vertebră sacrală migrează spre regiunea lombară, luând drept aspectul ultimei vertebre lombare<sup>14</sup>.

*Indicatori ocupaționali.* Inserțiile musculare sunt dezvoltate, în special pe humerusuri și femure.

*Observații tafonomice.* Toate rupturile care au condus la fragmentare sunt produse *postmortem*. Pe aproape toate oasele au fost identificate urme punctiforme de culoare roșiatică-violacee de origine necunoscută (Fig. 1/3-4).

### **Mormântul 7/2018**

Mormântul a fost distrus în mare parte prin eroziunea solului. Groapa mortuară sau, mai exact, capătul ei estic a putut fi sesizat la nivelul de 0,9 m, adâncimea mormântului fiind de circa 1,5 m de la suprafața solului. *In situ* s-au păstrat doar oasele gambelor și ale labelor picioarelor, după poziția cărora s-a putut stabili că defunctul a fost depus pe spate, cu membrele inferioare întinse, având orientarea generală vest-est.

*Gradul de reprezentare și starea de conservare.* Scheletul este slab reprezentat (Fig. 2/1). Segmentul cranian lipsește. Din segmentul postcranian sunt prezente următoarele elemente: tibiile, fibulele, calcaneele, talusurile, navicularul drept, cuboidul drept, cuneiformele I, cuneiformul II stâng, cinci metatarsiene și trei falange plantare (Fig. 2/3). Starea de conservare este satisfăcătoare.

*Estimarea vârstei și determinarea sexului.* Osemintele provin de la un individ de sex masculin, cu vârsta biologică de circa 25-35 ani (adult tânăr).

*Caracteristici biomorfometrice.* Osatura este robustă, masivă. Statura scheletică este de circa 177 cm și se încadrează în categoria masculină mare, la limita superioară a acesteia.

*Indicatori ocupaționali.* Inserțiile musculare sunt foarte accentuate pe tibii (Fig. 2.2) și fibule, diafizele celor din urmă fiind ușor deviate de la axul normal, spre exterior (Fig. 2/4).

*Observații tafonomice.* Toate rupturile care au condus la fragmentarea oaselor sunt produse *postmortem*.

### **Mormântul 8/2018**

Groapa mortuară era de formă rectangulară cu colțurile rotunjite și avea dimensiuni mici (0,46x0,90 m), fiind orientată pe direcția vest-est. Adâncimea gropii era de 1,03 m de la suprafața actuală a solului și de circa 0,2 m de la nivelul depistării. Scheletul, aparținând unui copil, era precar conservat, fiind probabil depus pe spate în poziție întinsă, cu capul orientat spre vest.

*Gradul de reprezentare și starea de conservare.* Scheletul este slab reprezentat (Fig. 3/1). Din segmentul cranian sunt prezente occipitalul (Fig. 3/2), fragmente din frontal, parietalele, mandibula (Fig. 3/3), porțiunile pietroase ale temporalelor și dentiție în stare izolată (Fig. 3/4). Din segmentul postcranian semnalăm doar jumătatea distală a femurului drept. Starea

---

<sup>14</sup> A. C. Aufderheide, C. Rodriguez-Martin, *op. cit.*, 1998, p. 65-66; R. W. Mann, D. R. Hunt 2005, *op. cit.*, p. 102-105.

de conservare este precară, oasele sunt extrem de fragile.

*Estimarea vârstei și determinarea sexului.* Osemintele provin de la un individ sub-adult cu vârsta biologică de circa 2 ani. Sexul la această vârstă rămâne indeterminabil.

*Observații tafonomice.* Toate rupturile care au condus la fragmentarea oaselor sunt produse *postmortem*.

### **Mormântul 9/2018**

Groapa a fost sesizată la adâncimea de 0,6 m, orientată pe direcția vest-est, având forma dreptunghiulară, cu colțurile puternic rotunjite și praguri pe laturile lungi. Adâncimea gropii mormântului de la suprafața solului era de 1,8 m, iar de la nivelul sesizării, de 1,2 m. Mormântul a fost distrus complet în antichitate, osemintele fiind răvășite. Acestea au fost găsite în partea inferioară a umpluturii gropii și, mai ales, pe fund, în zona centrală.

*Gradul de reprezentare și starea de conservare.* Scheletul este parțial reprezentat (Fig. 4/1). Segmentul cranian lipsește. Din segmentul postcranian sunt prezente următoarele elemente: coaste fragmentare, rotula dreaptă (Fig. 4/4), vertebrele S1 și T7, fragmente din vertebrele cervicale și lombare și din celelalte vertebre toracice, coxalele, claviculele (Fig. 4/2), carpiene și metacarpiene, parte din tarsiene, două falange palmare (Fig. 4/5), fragmente din scapule, oasele lungi ale membrelor superioare și doar un fragment diafizar din fibula dreaptă (?). Starea de conservare este satisfăcătoare.

*Estimarea vârstei și determinarea sexului.* Osemintele provin de la un individ de sex feminin, cu vârsta biologică de circa 20-35 ani (adult tânăr).

*Caracteristici biomorfometrice.* Osatura este gracilă. Statura scheletică este de circa 157 cm și se încadrează în categoria feminină supramijlocie, la limita inferioară a acesteia.

*Anomalii osoase.* Pe ambele coxale este prezent sulcusul preauricular (Fig. 4/3).

*Indicatori ocupaționali.* Inserțiile musculare sunt slabe.

*Observații tafonomice.* Toate rupturile care au condus la fragmentarea oaselor sunt produse *post mortem*. Pe aproape toate oasele au fost identificate urme punctiforme de culoare roșiatică-violacee de origine necunoscută (Fig. 4/4-5).

### **Mormântul 10/2018**

Groapa avea orientarea sud-est – nord-vest, fiind păstrată doar jumătatea ei estică, surprinsă pe o lungime de 2,1 m și o lățime maximă de 0,85 m. Adâncimea gropii era de 0,67-0,70 m de la nivelul identificării și de 1,7 m de la suprafața solului. Mormântul a fost răvășit din vechime. Craniul, care nu pare să fi fost deranjat, se găsea în capătul sudic al gropii, fiind întors pe partea stângă, cu privirea spre vest. În zona centrală a gropii au fost semnalate câteva oase din zona toracică, iar în partea de vest – nord-vest, capătul inferior al unui femur și resturi de la un peroneu.

*Gradul de reprezentare și starea de conservare.* Scheletul este parțial reprezentat (Fig. 5/1). Cu excepția mandibulei, din segmentul cranian sunt prezente toate celelalte oase, însă în stare fragmentară. Din segmentul postcranian menționăm prezența următoarelor elemente: coaste fragmentare, un fragment dintr-un coxal (stâng?), un fragment din sacrum, trei vertebre toracice incomplete, o vertebră lombară incompletă, patru metacarpiene, trei falange palmare, trapezul drept, trapezoidul drept, așchii din diafiza unui peroneu și jumătatea distală a femurului stâng. Starea de conservare este satisfăcătoare.

*Estimarea vârstei și determinarea sexului.* Osemintele provin de la un individ de sex masculin, cu vârsta cuprinsă în intervalul 45-50 ani (adult de vârstă mijlocie sau *maturus II*).

*Caracteristici biomorfometrice:* neurocraniu ovoid (Fig. 5/3); relief cranian slab dezvoltat (Fig. 5/2); fosă canină moderat de profundă; zigomatice de dimensiuni medii; osatură robustă. Statura scheletică nu se poate calcula, pentru că nici un os lung nu este întreg ori întregibil.

*Patologii dentare.* Uzura coroanelor dentare este de tip atriție (Fig. 5/5). Au fost

identificate două pierderi *antemortem* pe maxilarul superior (ambii I<sup>1</sup>) produse cu puțin timp înainte de deces (aspectul alveolelor acestor doi dinți căzuți sunt poroase).

*Indicatori ocupaționali.* Inserțiile musculare sunt moderate. Femurul prezintă pilastric (Fig. 5/6), ceea ce indică stres biomecanic provocat de mersul prelungit pe teren denivelat și accidentat, menținerea îndelungată a corpului în poziție verticală, hiperdorsiflexie și alergat<sup>15</sup>.

*Observații tafonomice.* Toate rupturile care au condus la fragmentarea oaselor sunt produse *postmortem*. Pe numeroase elemente au fost identificate urme punctiforme de culoare roșiatică-purpurie de origine necunoscută; pe frontal aceste pigmentații sunt destul de intense și dispersate (Fig. 5/2-4).

Seria scheletică analizată este formată din cinci indivizi, dintre care patru adulți (doi bărbați și două femei) și un sub-adult. Starea de conservare a osemintelor este precară, situație datorată factorilor tafonomici și antropici.

Studiul paleopatologic a relevat prezența lombarizării (M.6) și sulcusului preauricular (M.9) la nivel osos, iar la nivel dentar, pierderi/căderi produse *antemortem* (M.10). Pe scheletele adulte au fost identificate câteva adaptări funcționale la nivelul oaselor membrilor superioare și inferioare, ceea ce indică o serie de activități cotidiene și efort fizic, susținut.

Datele tafonomice arată că, în toate cele cinci cazuri analizate, rupturile care au condus la fragmentarea oaselor sunt produse *postmortem*, unele în vechime, altele recent. Un aspect interesant, cauzalitatea căruia rămâne deocamdată neelucidată, sunt petele/punctele pigmentare de culoare roșiatică-purpurie, care sunt prezente pe numeroase componente scheletice (în cazul scheletelor din M.6, M.9 și M.10).

## BIBLIOGRAFIE

- Aufderheide A. C., Rodriguez-Martin C., *The Cambridge Encyclopedia of Human Paleopathology*, Cambridge University Press, Cambridge, 1998.
- Barnes E., *Atlas of Developmental Field Anomalies of the Human Skeleton: A Paleopathology Perspective*, Wiley-Blackwell, Hoboken, 2012.
- Buikstra J. E., Ubelaker D. H., *Standards for Data Collection from Human Skeletal Remains*, Arkansas Archaeological Survey Research Series, No 44, Fayetteville, 1994.
- Chapman N. E., *Evidence for Spanish influence on activity induced musculoskeletal stress markers at Pecos Pueblo*, in „International Journal of Osteoarchaeology”, 8, 1997, p. 390-411.
- Connell B., *Preservation and archaeological data*, in *Human osteology method statement* (ed. N. Powers), Museum of London, London, 2008, p. 9.
- Hawkey D. E., *Disability compassion and the skeletal record: using musculoskeletal stress markers (MSM) to reconstruct an osteobiography from early New Mexico*, in „International Journal of Osteoarchaeology”, 8, 1998, p. 326-340.
- Mann R. W., Hunt D. R., *Photographic Regional Atlas of Bone Disease: A Guide to Pathologic and Normal Variation in the Human Skeleton*, Charles C. Thomas Publisher, Illinois, Springfield, 2005.
- Mann R. W., Hunt D. R., Lozanoff S., *Photographic Regional Atlas of Non-Metric Traits and Anatomical Variants in the Human Skeleton*, Charles C. Thomas, Illinois, Springfield, 2016.
- Martin R., *Lehrbuch der Anthropologie*, 2nd ed., Fisher, Jena, 1928.
- Martin R., Saller K., *Lehrbuch de Anthropologie*, Fischer, Stuttgart, 1957-1966.
- Ortner D. J., *Identification of Pathological Conditions in Human Skeletal Remains*, Academic Press, Oxford, 2003.
- Pálfi Gy., Dutour O., *Activity-induced skeletal markers in historical anthropological material*, in „International Journal of Osteoarchaeology”, 11, 1, 1996, p. 41-55.
- Périer A. L., *Observation sur le phénomène de l'abrasion dentaire fonctionnelle chez un groupe ethnique inférieur*, in „Odontologie”, 28, 10, 1935, p. 687-697.
- Périer A. L., *Usure, abrasion, érosion*, in „Pratique Odonto-Stomatologique”, 140, 1949, p. 1-7.
- Robb J. E., *The interpretation of skeletal muscle sites: a statistical approach*, in „International Journal of Osteoarchaeology”, 8, 5, 1998, p. 363-377.
- Simalcsik A., Vornic V., *Necropola de tip Sântana de Mureș-Cerneahov de la Tigheci (campania 2017). Date paleoantropologice*, in „Acta Musei Tutovensius”, XV, 2019, p. 238-253.

<sup>15</sup> Robb J. E., *op. cit.*, 1998, p. 363-377.

- Trotter M., Gleser G., *A Reevaluation of Estimation of Stature Based on Measurements of Stature Taken during Life and of Long Bones after Death*, in „American Journal of Physical Anthropology”, 16, 1958, p. 79-123.
- Ubelaker D. H., *Human Skeletal Remains: Excavation, Analysis and Interpretation*, Taraxacum, Washington D.C., 1979.
- Vornic V., Ciobanu I., Popovici S., Simalscik A., *Cercetări de salvare în necropola de tip Sântana de Mureș-Cerneahov de la Tigheci (Campania 2017)*, in „Arheologia preventivă în Republica Moldova”, IV, 2019 (p. 183-196).
- Vornic V., Simalscik A., Ciobanu I., *Cercetări de salvare în necropola de tip Sântana de Mureș-Cerneahov de la Tigheci (Campania 2018)*, in „Arheologia preventivă în Republica Moldova”, V, 2020 (în curs de apariție).
- Waldron T., *Palaeopathology*, Cambridge University Press, Cambridge, New York, 2009.
- White T. D., Folkens P. A., *The Human Bone Manual*, Academic Press, Amsterdam, Boston, 2005.

### **THE SÂNTANA DE MUREȘ-ČERNJACHOV NECROPOLIS FROM TIGHECI (THE 2018 CAMPAIGN). PALAEOANTHROPOLOGICAL DATA**

In 2018, the archaeological investigations in the Sântana de Mureș-Černjachov necropolis in Tigheci were focused on rescue of partially destroyed burial graves. Five graves (G.6 - G.10) and a portion of another partially destroyed burial pit or grave, which had no human bones or archaeological material, were discovered. Regarding the grave inventory, we mention a fragment from a thick-walled glass beaker, discovered in G.9, the rest of the graves being completely devoid of goods. Several objects, some whole, some fragmented, were recovered from the surface of the site. At the surface of the soil were also some calcined human bones, which also indicate the presence of incineration graves in the Tigheci necropolis.

The skeletal series discovered in the 2018 campaign consists of five individuals, of which four adults (two males and two females) and one sub-adult. The state of bones preservation is precarious, a situation due to the taphonomic and anthropic factors.

The palaeopathological study revealed the presence of lumbarization (G.6) and the preauricular sulcus (G.9) at the bone level and tooth loss produced antemortem (G.10). On the adult skeletons were identified several functional adaptations in the bones of the upper and lower limbs, indicating a series of daily activities and sustained physical effort.

Taphonomic data show that in all five analyzed cases, the ruptures that led to bone fragmentation are produced postmortem, some in ancient times, some recently. An interesting aspect, the causality for which remains so far unexplained, are the reddish-purple spots / points on numerous skeletal components (in the case of the skeletons from G.6, G.9 and G.10).

## Lista ilustrației

- Fig. 1. Mormântul 6/2018, femeie, 25-30 ani. 1. Gradul de reprezentare a scheletului (alb – element absent; negru – element complet; hașurat – element incomplet); 2. Coxalul stâng, incomplet; 3. Femurul stâng, treimea distală, pigmentație roșiatică-purpurie; 4. Femurul drept, treimea proximală, pigmentație roșiatică.
- Fig. 1. Grave 6/2018, female, 25-30 years old. 1. The representation degree of the skeleton (white – absent element; black – complete element; hatched – incomplete element); 2. Left coxal, incomplete; 3. Left femur, distal third, reddish-purple pigmentation; 4. Right femur, proximal third, reddish pigmentation.
- Fig. 2. Mormântul 7/2018, bărbat, 25-35 ani. 1. Gradul de reprezentare a scheletului (alb – element absent; negru – element complet; hașurat – element incomplet); 2. Jumătatea proximală a tibiilor, vedere posterioară; 3. Parte din planta membrului drept; 4. Peroneele.
- Fig. 2. Grave 7/2018, male, 25-35 years old. 1. The representation degree of the skeleton (white – absent element; black – complete element; hatched – incomplete element); 2. Proximal half of tibiae, posterior view; 3. Part of the right foot; 4. Fibulae.
- Fig. 3. Mormântul 8/2018, sub-adult, circa 2 ani, sex indeterminabil. 1. Gradul de reprezentare a scheletului (alb – element absent; negru – element complet; hașurat – element incomplet); 2. Occipitalul; 3. Parte din mandibulă cu dentiție provizorie conservată în alveole; 4. Dentiție provizorie izolată de pe arcada superioară.
- Fig. 3. Grave 8/2018, sub-adult, cca 2 years old, indeterminable sex. 1. The representation degree of the skeleton (white – absent element; black – complete element; hatched – incomplete element); 2. Occipital; 3. Part of mandible with deciduous teeth preserved in alveoli; 4. Deciduous isolated teeth from the upper arch.
- Fig. 4. Mormântul 9/2018, femeie, 20-35 ani. 1. Gradul de reprezentare a scheletului (alb – element absent; negru – element complet; hașurat – element incomplet); 2. Claviculele; 3. Coxalul stâng, sulcus preauricular; 4. Rotula dreaptă cu urme de pigment roșiatic-purpuriu; 5. Falange palmare cu pigmentație roșiatică-purpurie.
- Fig. 4. Grave 9/2018, female, 20-35 years old. 1. The representation degree of the skeleton (white – absent element; black – complete element; hatched – incomplete element); 2. Clavicles; 3. Left coxal, preauricular sulcus; 4. Right patella with traces of reddish-purple pigment; 5. Hand phalanges with reddish-purple pigmentation.
- Fig. 5. Mormântul 10/2018, bărbat, 45-50 ani. 1. Gradul de reprezentare a scheletului (alb – element absent; negru – element complet; hașurat – element incomplet); 2-4. Pigmentație roșie-purpurie pe craniu; 5. Maxilarul superior drept; 6. Secțiune prin diafiza femurală, pilastrie.
- Fig. 5. Grave 10/2018, male, 45-50 years old. 1. The representation degree of the skeleton (white – absent element; black – complete element; hatched – incomplete element); 2-4. Red-purple pigmentation on the skull; 5. Upper jaw, right half; 6. Section through the femoral diaphysis, pilastrie.

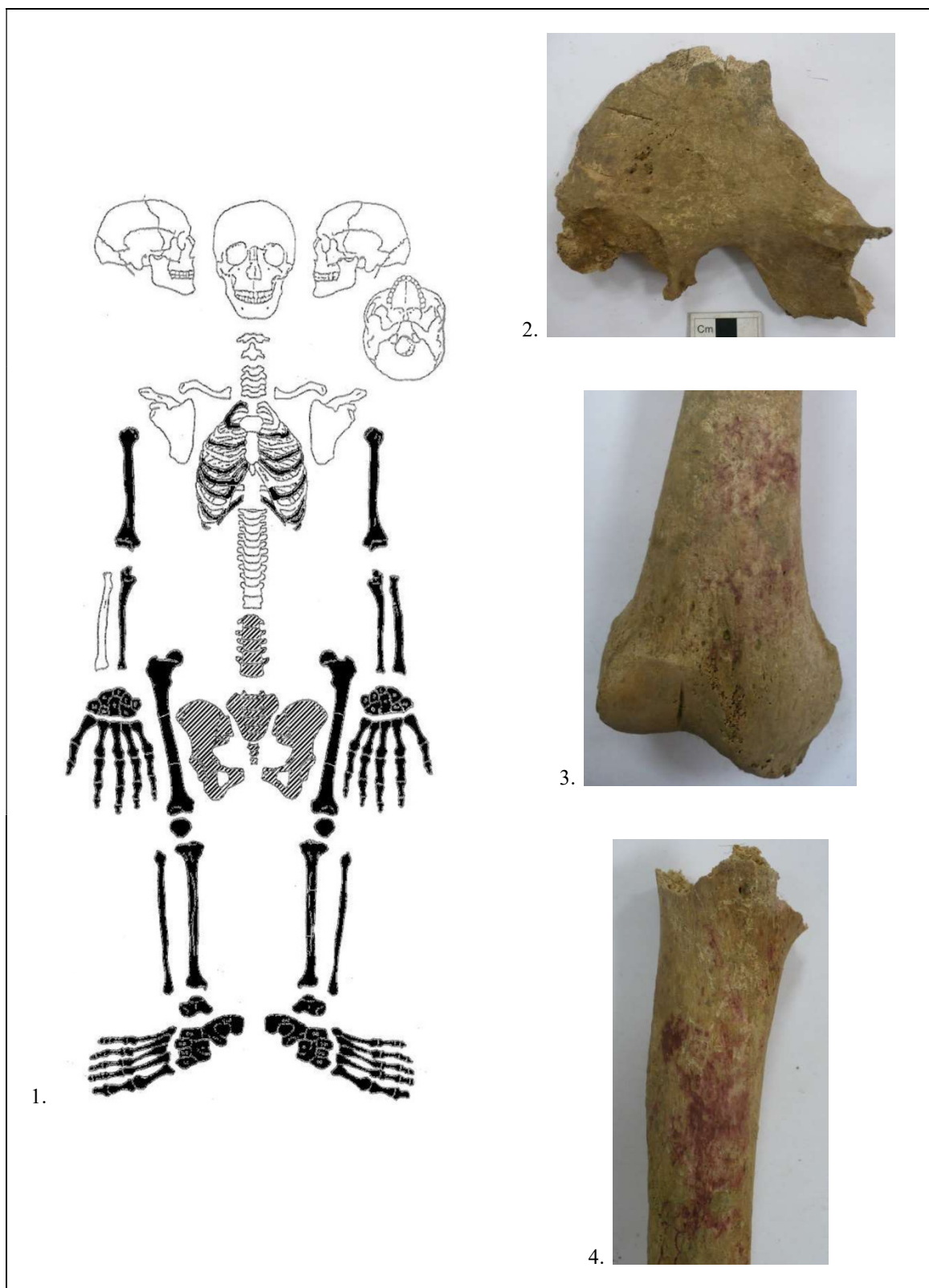


Fig. 1. Mormântul 6/2018, femeie, 25-30 ani. 1. Gradul de reprezentare a scheletului (alb – element absent; negru – element complet; hașurat – element incomplet); 2. Coxalul stâng, incomplet; 3. Femurul stâng, treimea distală, pigmentație roșiatică-purpurie; 4. Femurul drept, treimea proximală, pigmentație roșiatică.



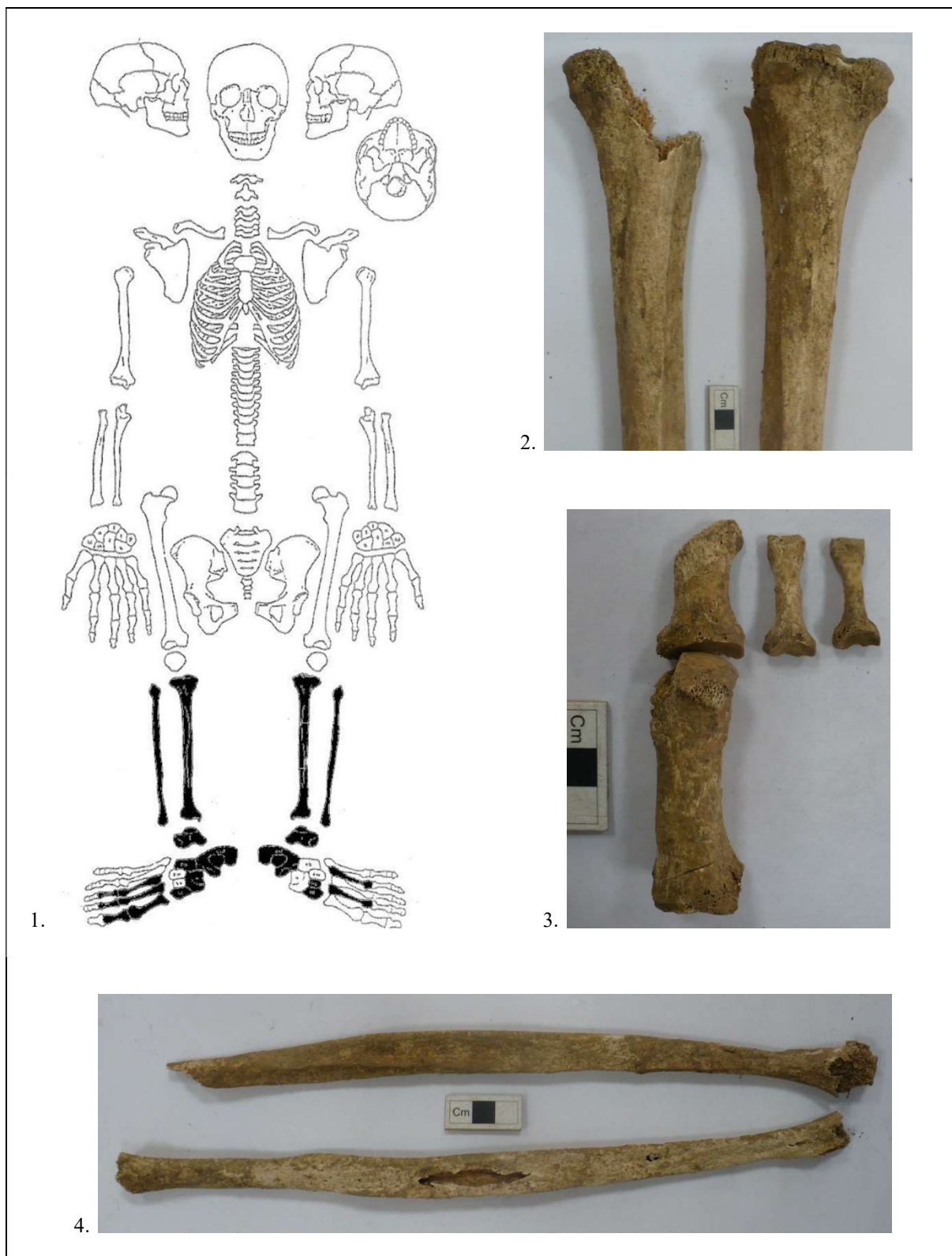


Fig. 2. Mormântul 7/2018, bărbat, 25-35 ani. 1. Gradul de reprezentare a scheletului (alb – element absent; negru – element complet; hașurat – element incomplet); 2. Jumătatea proximală a tibiilor, vedere posterioară; 3. Parte din planta membrului drept; 4. Peroneele.

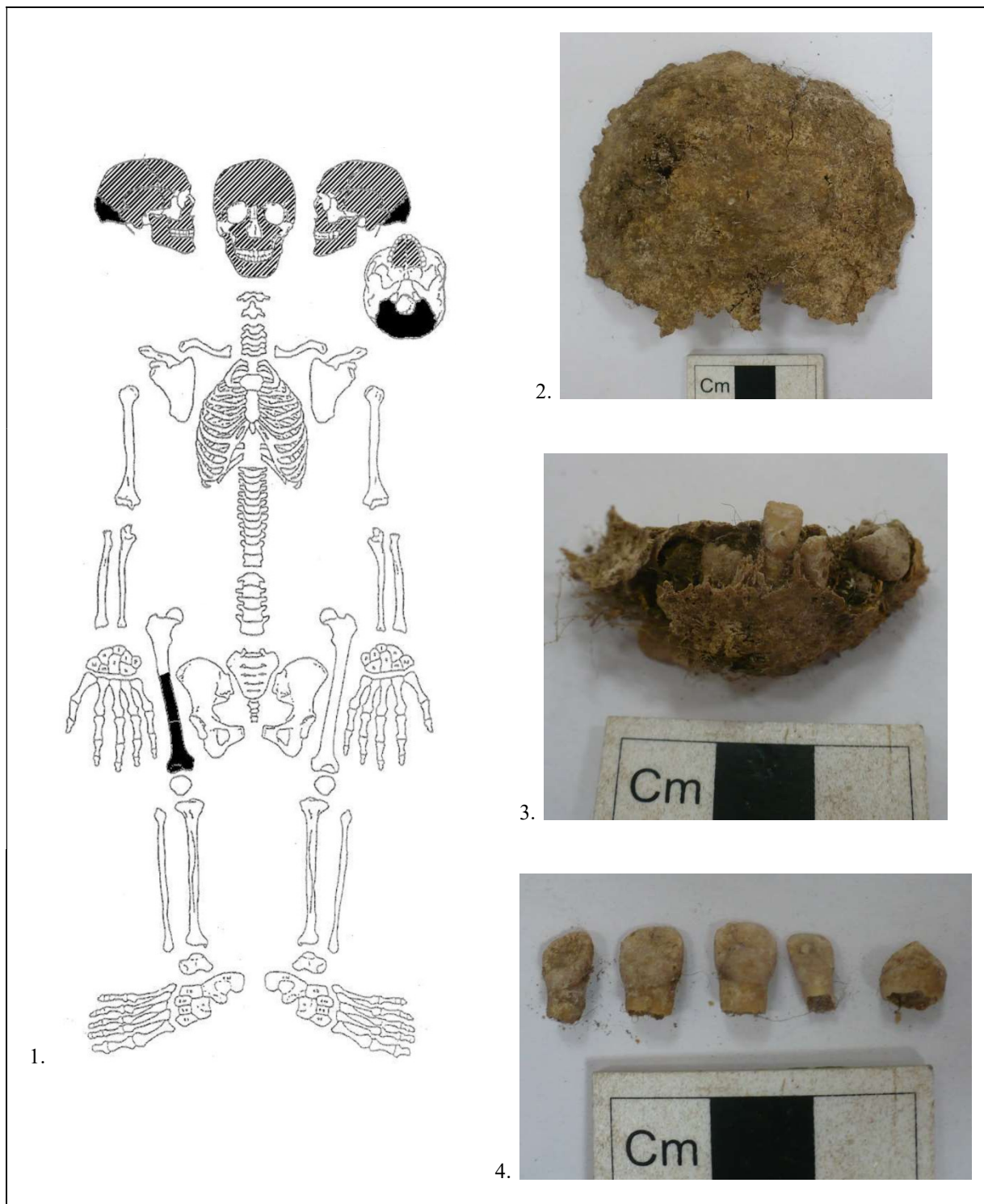


Fig. 3. Mormântul 8/2018, sub-adult, circa 2 ani, sex indeterminabil. 1. Gradul de reprezentare a scheletului (alb – element absent; negru – element complet; hașurat – element incomplet); 2. Occipitalul; 3. Parte din mandibulă cu dentiție provizorie conservată în alveole; 4. Dentiție provizorie izolată de pe arcada superioară.

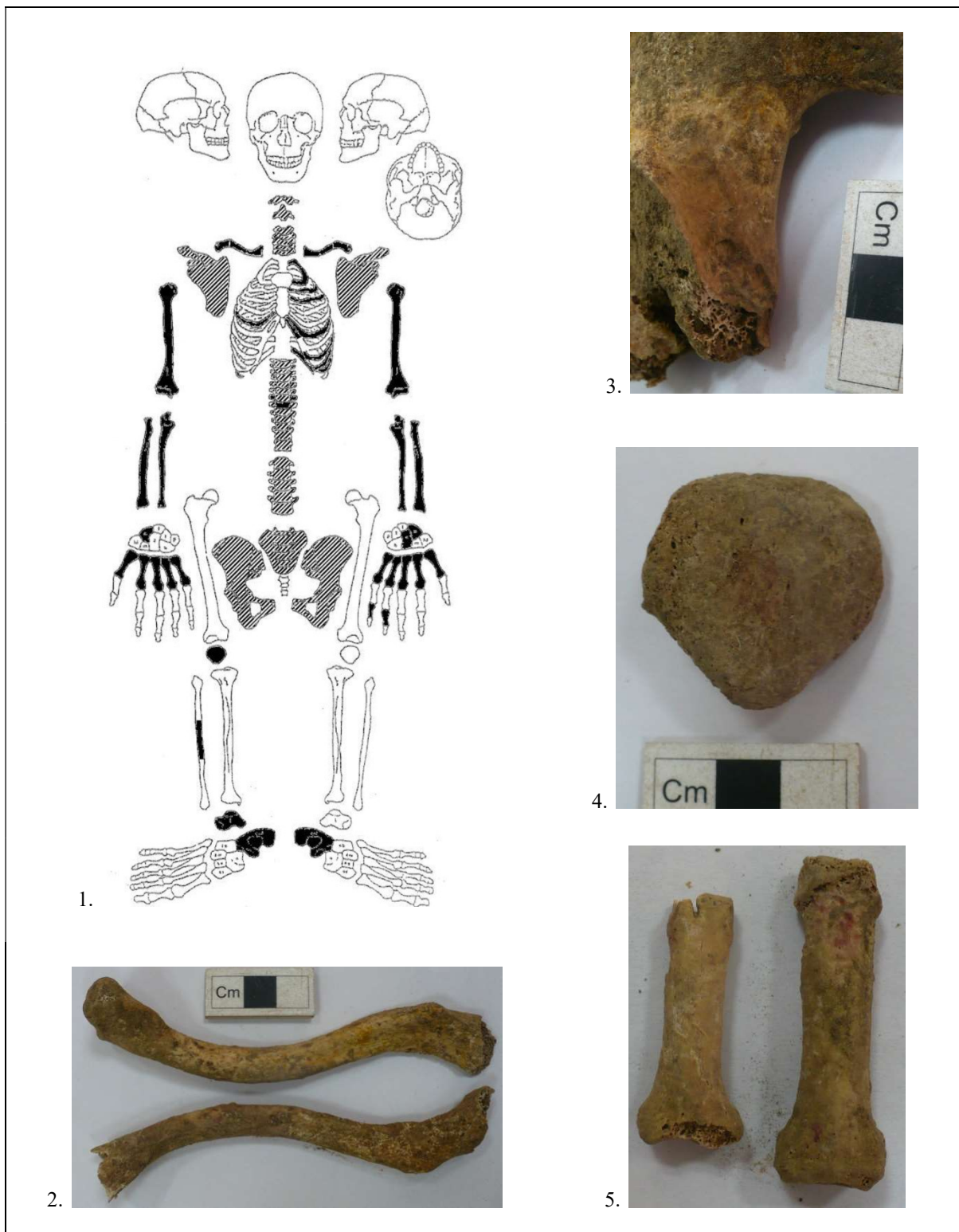


Fig. 4. Mormântul 9/2018, femeie, 20-35 ani. 1. Gradul de reprezentare a scheletului (alb – element absent; negru – element complet; hașurat – element incomplet); 2. Claviculele; 3. Coxalul stâng, sulcus preauricular; 4. Rotula dreaptă cu urme de pigment roșiatic-purpuriu; 5. Falange palmare cu pigmențație roșiatică-purpurie.

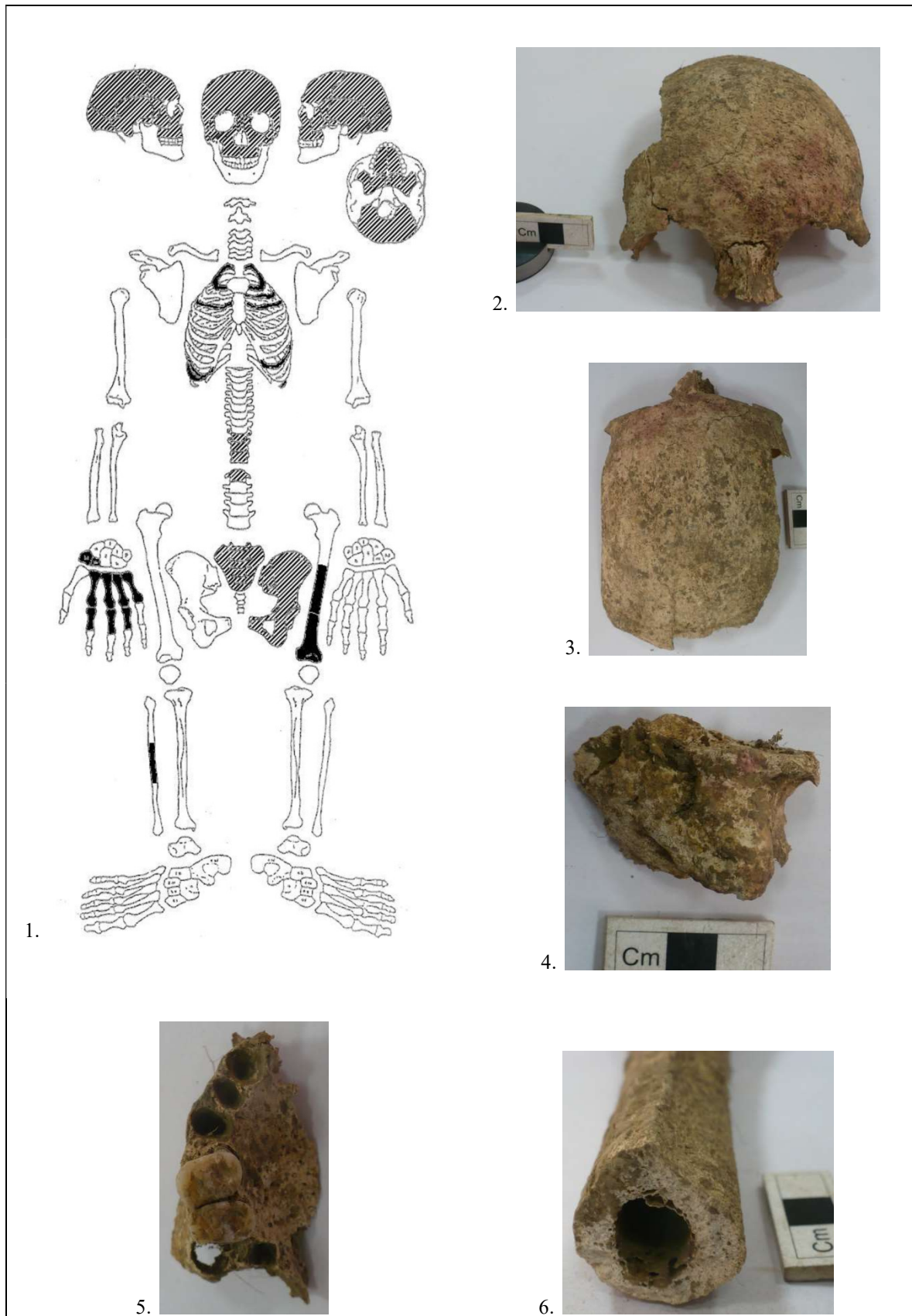


Fig. 5. Mormântul 10/2018, bărbat, 45-50 ani. 1. Gradul de reprezentare a scheletului (alb – element absent; negru – element complet; hașurat – element incomplet); 2-4. Pigmentație roșie-purpurie pe craniu; 5. Maxilarul superior drept; 6. Secțiune prin diafiza femurală, pilastrică.